



(12) 发明专利申请

(10) 申请公布号 CN 103944397 A

(43) 申请公布日 2014. 07. 23

(21) 申请号 201410145216. 7

(22) 申请日 2014. 04. 11

(71) 申请人 燕山大学

地址 066004 河北省秦皇岛市海港区河北大街西段 438 号

(72) 发明人 孙孝峰 申彦峰 朱云娥 李昕

(74) 专利代理机构 石家庄一诚知识产权事务所

13116

代理人 李合印

(51) Int. Cl.

H02M 3/335 (2006. 01)

H02M 1/14 (2006. 01)

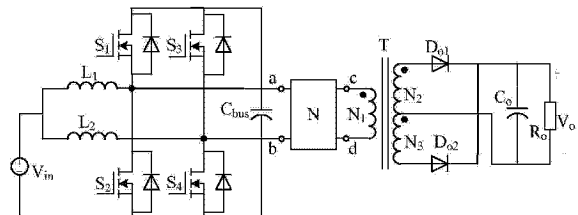
权利要求书2页 说明书5页 附图6页

(54) 发明名称

Boost 型隔离 DC/DC 变换器及其控制方法

(57) 摘要

本发明公开了一种 Boost 型隔离 DC-DC 变换器及其控制方法, 该变换器由原边电路、副边电路、理想变压器和二端口无源网络组成, 其中原边电路由集成了交错并联 Boost 电路的全桥单元电路构成, 副边电路由整流电路构成, 二端口无源网络是由电感、电容组成, 为能量传递单元, 变压器用来实现隔离和变压; 通过在全桥两个桥臂中点连接两个交错并联的 Boost 输入电感, 不仅拓宽了隔离 DC-DC 变换器的增益范围, 而且减小了输入电流纹波; 采用定频 PWM 控制, 通过控制上桥臂开关管的占空比 D, 可以实现对输出电压的调节。本发明具有输入电压范围宽、输入电流纹波小、开关频率固定、易于实现软开关、开关损耗小等优点, 特别适合用于可再生能源发电等系统中。



1. 一种 Boost 型隔离 DC/DC 变换器, 其特征在于:

它是由输入直流电压源  $V_{in}$ 、母线电容  $C_{bus}$ 、第一电感  $L_1$ 、第二电感  $L_2$ 、第一开关管  $S_1$ 、第二开关管  $S_2$ 、第三开关管  $S_3$ 、第四开关管  $S_4$ 、二端口无源网络  $N$ 、第一输出整流二极管  $D_{o1}$ 、第二输出整流二极管  $D_{o2}$ 、输出电容  $C_o$ 、输出电阻  $R_o$  和理想变压器  $T$  组成;

所述理想变压器  $T$  包括第一绕组  $N_1$ 、第二绕组  $N_2$  和第三绕组  $N_3$ ;

所述二端口无源网络  $N$  有四个端子, 分别为端子 a、端子 b、端子 c 和端子 d, 端子 a 与端子 b 在同一侧, 端子 c 和端子 d 在另一侧;

所述的输入直流电压源  $V_{in}$  的正极分别与第一电感  $L_1$  的一端和第二电感  $L_2$  的一端相连, 输入直流电压源  $V_{in}$  的负极分别与第二开关管  $S_2$  的源极、第四开关管  $S_4$  的源极以及母线电容  $C_{bus}$  的负极相连; 第一电感  $L_1$  的另一端分别与第一开关管  $S_1$  的源极和第二开关管  $S_2$  的漏极相连, 第二电感  $L_2$  的另一端分别与第三开关管  $S_3$  的源极和第四开关管  $S_4$  的漏极相连; 第一开关管  $S_1$  的漏极分别与第三开关管  $S_3$  的漏极、母线电容  $C_{bus}$  的正极相连;

所述二端口无源网络  $N$  的端子 a 与第一开关管  $S_1$  的源极、第二开关管  $S_2$  的漏极相连, 端子 b 与第三开关管  $S_3$  的源极、第四开关管  $S_4$  的漏极相连, 端子 c 与所述理想变压器  $T$  第一绕组  $N_1$  的同名端相连, 端子 d 与所述理想变压器  $T$  第一绕组  $N_1$  的非同名端相连;

第一输出整流二极管  $D_{o1}$  与第二输出整流二极管  $D_{o2}$  共阴极连接, 第一输出整流二极管  $D_{o1}$  的阳极连接到所述理想变压器  $T$  第二绕组  $N_2$  的同名端, 第二输出整流二极管  $D_{o2}$  的阳极连接到所述理想变压器  $T$  第三绕组  $N_3$  的非同名端; 输出电容  $C_o$  与输出电阻  $R_o$  并联, 它们的正极连接到第一输出整流二极管  $D_{o1}$  的阴极, 它们的负极分别与所述理想变压器  $T$  第二绕组  $N_2$  的非同名端和第三绕组  $N_3$  的同名端相连。

2. 根据权利要求 1 所述的 Boost 型隔离 DC/DC 变换器, 其特征在于: 所述的二端口无源网络  $N$  是移相电感  $L$  网络; 所述的移相电感  $L$  网络包含移相电感  $L$ , 移相电感  $L$  的一端与端子 a 相连, 另一端与端子 c 相连, 端子 b 与端子 d 直接相连。

3. 根据权利要求 1 所述的 Boost 型隔离 DC/DC 变换器, 其特征在于: 所述的二端口无源网络  $N$  是 LC 串联谐振网络; 所述的 LC 串联谐振网络包括谐振电感  $L_r$  和串联谐振电容  $C_r$ , 谐振电感  $L_r$  的一端连接端子 a, 另一端连接端子 c, 串联谐振电容  $C_r$  的一端连接端子 b, 另一端连接端子 d。

4. 根据权利要求 1 所述的 Boost 型隔离 DC/DC 变换器, 其特征在于: 所述的二端口无源网络  $N$  是 LC 并联谐振网络; 所述的 LC 并联谐振网络包括谐振电感  $L_r$  和并联谐振电容  $C_p$ , 谐振电感  $L_r$  的一端连接端子 a, 另一端连接端子 c, 并联谐振电容  $C_p$  的一端连接端子 b, 另一端连接端子 d。

5. 根据权利要求 1 所述的 Boost 型隔离 DC/DC 变换器, 其特征在于: 所述的二端口无源网络  $N$  是 LCC 串并联谐振网络; 所述的 LCC 串并联谐振网络包括谐振电感  $L_r$ 、串联谐振电容  $C_r$  和并联谐振电容  $C_p$ , 谐振电感  $L_r$  一端连接端子 a, 另一端连接端子 c; 串联谐振电容  $C_r$  一端连接端子 b, 另一端连接端子 d; 并联谐振电容  $C_p$  一端连接端子 c, 另一端连接端子 d。

6. 根据权利要求 1 所述的 Boost 型隔离 DC/DC 变换器, 其特征在于: 所述的二端口无源网络  $N$  是 LLC 串联谐振网络; 所述的 LLC 串联谐振网络包括谐振电感  $L_r$ 、串联谐振电容  $C_r$  和励磁电感  $L_m$ , 谐振电感  $L_r$  一端连接端子 a, 另一端连接端子 c; 串联谐振电容  $C_r$  一端连接端子 b, 另一端连接端子 d; 励磁电感  $L_m$  一端连接端子 c, 另一端连接端子 d。

7. 根据权利要求 1 所述 Boost 型隔离 DC/DC 变换器的控制方法, 其特征在于: 该方法内容如下: 采用定频 PWM 的控制, 变换器的工作频率  $f_s$  始终等于谐振频率  $f_r$ ; 两个 Boost 电路采用交错并联的控制方式, 第一开关管  $S_1$  与第三开关管  $S_3$  占空比均为 D, 其相位差  $180^\circ$ ; 第二开关管  $S_2$  与第四开关管  $S_4$  的占空比均为  $1-D$ , 相位也差  $180^\circ$ ; 当占空比  $D \leq 0.5$  时, 谐振槽电压  $V_{tank}$  的占空比为 D; 当  $D > 0.5$  时, 谐振槽电压  $V_{tank}$  的占空比为  $1-D$ ; 输入电压  $V_{in}$  在比较宽的范围内变化时, 通过调节第一开关管  $S_1$  与第三开关管  $S_3$  的占空比 D, 改变变换器整体增益。

## Boost 型隔离 DC/DC 变换器及其控制方法

### 技术领域

[0001] 本发明涉及可再生发电系统中的电力电子变换器技术领域，特别涉及一种 Boost 型隔离 DC/DC 变换器及其控制方法。

### 背景技术

[0002] 随着经济的发展，环境污染问题和能源紧缺问题日益严重。可再生能源的开发利用是解决这个问题的有效方法之一。可再生能源发电主要有风力、光伏、水利、燃料电池等，但是，受气候条件的影响，可再生能源具有输出电压范围宽的特点。因此，为了能有效的利用新能源，需要一种能在宽输入电压范围内高效工作的 DC/DC 变换器。

[0003] 传统的定频控制全桥变换器，虽然控制简单且能实现零电压开关，但输入电压范围宽时需要的滤波电感大，功率密度小；另一方面占空比变化范围大，尤其在高压输入时效率比较低。为了适应宽输入的特点，又有一系列的变换器拓扑及其衍生结构相继被提出。这其中多是基于辅助绕组和多电平的思想。但是这两种方法均需增加额外的辅助元件或开关管，提高了成本，控制复杂并且会产生额外的能量损耗。有些学者还提出了两级变换器级联形式的拓扑，这种变换器前级一般用 Buck 或 Boost 变换器，通过调节前级变换器的占空比使母线电压保持稳定。但是增加的前级变换器不仅增大了整体变换器的体积，Buck 或 Boost 变换器中的开关管是硬开关，损耗也比较大。

### 发明内容

[0004] 为了克服现有技术中存在的上述问题，本发明的目的是提供一种 Boost 型隔离 DC/DC 变换器及其控制方法，能够保证在宽范围的电压输入下实现高效的功率变换。

[0005] 为实现上述目的，本发明的目的之一是通过以下技术方案实现的。

[0006] 一种 Boost 型隔离 DC/DC 变换器，它是由输入直流电压源  $V_{in}$ 、母线电容  $C_{bus}$ 、第一电感  $L_1$ 、第二电感  $L_2$ 、第一开关管  $S_1$ 、第二开关管  $S_2$ 、第三开关管  $S_3$ 、第四开关管  $S_4$ 、二端口无源网络  $N$ 、第一输出整流二极管  $D_{o1}$ 、第二输出整流二极管  $D_{o2}$ 、输出电容  $C_o$ 、输出电阻  $R_o$  和理想变压器  $T$  组成；

[0007] 所述理想变压器  $T$  包括第一绕组  $N_1$ 、第二绕组  $N_2$  和第三绕组  $N_3$ ；

[0008] 所述二端口无源网络  $N$  有四个端子，分别为端子 a、端子 b、端子 c 和端子 d，端子 a 与端子 b 在同一侧，端子 c 和端子 d 在另一侧；

[0009] 所述的输入直流电压源  $V_{in}$  的正极分别与第一电感  $L_1$  的一端和第二电感  $L_2$  的一端相连，输入直流电压源  $V_{in}$  的负极分别与第二开关管  $S_2$  的源极、第四开关管  $S_4$  的源极以及母线电容  $C_{bus}$  的负极相连；第一电感  $L_1$  的另一端分别与第一开关管  $S_1$  的源极和第二开关管  $S_2$  的漏极相连，第二电感  $L_2$  的另一端分别与第三开关管  $S_3$  的源极和第四开关管  $S_4$  的漏极相连；第一开关管  $S_1$  的漏极分别与第三开关管  $S_3$  的漏极、母线电容  $C_{bus}$  的正极相连；

[0010] 所述二端口无源网络  $N$  的端子 a 与第一开关管  $S_1$  的源极、第二开关管  $S_2$  的漏极相连，端子 b 与第三开关管  $S_3$  的源极、第四开关管  $S_4$  的漏极相连，端子 c 与所述理想变压器  $T$

第一绕组  $N_1$  的同名端相连, 端子 d 与所述理想变压器 T 第一绕组  $N_1$  的非同名端相连;

[0011] 第一输出整流二极管  $D_{o1}$  与第二输出整流二极管  $D_{o2}$  共阴极连接, 第一输出整流二极管  $D_{o1}$  的阳极连接到所述理想变压器 T 第二绕组  $N_2$  的同名端, 第二输出整流二极管  $D_{o2}$  的阳极连接到所述理想变压器 T 第三绕组  $N_3$  的非同名端; 输出电容  $C_o$  与输出电阻  $R_o$  并联, 它们的正极连接到第一输出整流二极管  $D_{o1}$  的阴极, 它们的负极分别与所述理想变压器 T 第二绕组  $N_2$  的非同名端和第三绕组  $N_3$  的同名端相连。

[0012] 在本发明 Boost 型隔离 DC/DC 变换器中, 所述的二端口无源网络 N 可以是移相电感 L 网络; 所述的移相电感 L 网络包含移相电感 L, 移相电感 L 的一端与端子 a 相连, 另一端与端子 c 相连, 端子 b 与端子 d 直接相连。

[0013] 在本发明 Boost 型隔离 DC/DC 变换器中, 所述的二端口无源网络 N 还可以是 LC 串联谐振网络; 所述的 LC 串联谐振网络包括谐振电感  $L_r$  和串联谐振电容  $C_r$ , 谐振电感  $L_r$  的一端连接端子 a, 另一端连接端子 c, 串联谐振电容  $C_r$  的一端连接端子 b, 另一端连接端子 d。

[0014] 在本发明 Boost 型隔离 DC/DC 变换器中, 所述的二端口无源网络 N 还可以是 LC 并联谐振网络; 所述的 LC 并联谐振网络包括谐振电感  $L_r$  和并联谐振电容  $C_p$ , 谐振电感  $L_r$  的一端连接端子 a, 另一端连接端子 c, 并联谐振电容  $C_p$  的一端连接端子 b, 另一端连接端子 d。

[0015] 在本发明 Boost 型隔离 DC/DC 变换器中, 所述的二端口无源网络 N 还可以是 LCC 串并联谐振网络; 所述的 LCC 串并联谐振网络包括谐振电感  $L_r$ 、串联谐振电容  $C_r$  和并联谐振电容  $C_p$ , 谐振电感  $L_r$  一端连接端子 a, 另一端连接端子 c; 串联谐振电容  $C_r$  一端连接端子 b, 另一端连接端子 d; 并联谐振电容  $C_p$  一端连接端子 c, 另一端连接端子 d。

[0016] 在本发明 Boost 型隔离 DC/DC 变换器中, 所述的二端口无源网络 N 还可以是 LLC 串联谐振网络; 所述的 LLC 串联谐振网络包括谐振电感  $L_r$ 、串联谐振电容  $C_r$  和励磁电感  $L_m$ , 谐振电感  $L_r$  一端连接端子 a, 另一端连接端子 c; 串联谐振电容  $C_r$  一端连接端子 b, 另一端连接端子 d; 励磁电感  $L_m$  一端连接端子 c, 另一端连接端子 d。

[0017] 本发明的另一目的是提供一种所述的 Boost 型隔离 DC/DC 变换器的控制方法: 该方法内容如下: 采用定频 PWM 的控制, 变换器的工作频率  $f_s$  始终等于谐振频率  $f_r$ ; 两个 Boost 电路采用交错并联的控制方式, 第一开关管  $S_1$  与第三开关管  $S_3$  占空比均为 D, 其相位差  $180^\circ$ ; 第二开关管  $S_2$  与第四开关管  $S_4$  的占空比均为  $1-D$ , 相位也差  $180^\circ$ ; 当占空比  $D \leq 0.5$  时, 谐振槽电压  $V_{tank}$  的占空比为 D; 当  $D > 0.5$  时, 谐振槽电压  $V_{tank}$  的占空比为  $1-D$ ; 输入电压  $V_{in}$  在比较宽的范围内变化时, 通过调节第一开关管  $S_1$  与第三开关管  $S_3$  的占空比 D, 改变变换器整体增益。

[0018] 由于采用上述技术方案, 与现有技术相比, 本发明 Boost 型隔离 DC/DC 变换器及其控制方法具有以下有益效果:

[0019] 1 本发明在比较小的占空比调节范围内, 就可实现宽的电压增益范围, 输入电压范围宽;

[0020] 2 两个 Boost 电感交错并联, 显著降低了输入电流的纹波和滤波电容值。这种电流型且输入纹波小的 DC/DC 变换器尤其适合与光伏、燃料电池等可再生能源供电系统相连;

[0021] 3 采用定频 PWM 控制, 有利于磁性元器件和滤波电路设计;

[0022] 4 原边所有功率开关管均可以实现 ZVS 开通, 副边的输出整流二极管均可实现 ZCS 关断, 开关损耗小;

[0023] 5 经过 Boost 变换器后母线电压比较高, 在相同功率条件下, 降低了原边电流有效值, 减小了导通损耗。

## 附图说明

- [0024] 图 1 为本发明 Boost 型隔离 DC/DC 变换器的电气原理图;
- [0025] 图 2 为本发明 Boost 型隔离 DC/DC 变换器的 PWM 调制方式图;
- [0026] 图 3 为本发明 Boost 型隔离 DC/DC 变换器的实施例 1 电路图;
- [0027] 图 4 为本发明 Boost 型隔离 DC/DC 变换器的实施例 2 电路图;
- [0028] 图 5 为本发明 Boost 型隔离 DC/DC 变换器的实施例 3 电路图;
- [0029] 图 6 为本发明 Boost 型隔离 DC/DC 变换器的实施例 4 电路图;
- [0030] 图 7 为本发明 Boost 型隔离 DC/DC 变换器的实施例 5 电路图;
- [0031] 图 8 为本发明 Boost 型隔离 DC/DC 变换器的实施例 2 在占空比  $D < 0.5$  时的主要工作波形图;
- [0032] 图 9 为本发明 Boost 型隔离 DC/DC 变换器的实施例 2 在  $D < 0.5$  时的各阶段等效电路图。
- [0033] 图中符号含义:  $V_{in}$  是输入直流电压源,  $V_{bus}$  是母线电压,  $V_{tank}$  是谐振槽输入电压,  $D$  是第一开关管  $S_1$  和第三开关管  $S_3$  的占空比,  $T_s$  是开关周期,  $C_{bus}$  是母线电容,  $L_1$ 、 $L_2$  分别是第一电感和第二电感,  $N$  为二端口无源网络,  $a$ 、 $b$ 、 $c$ 、 $d$  是二端口无源网络的四个端子,  $S_1 \sim S_4$  是第一至第四开关管,  $L_r$  是谐振电感,  $C_r$  是串联谐振电容,  $C_p$  是并联谐振电容,  $L_m$  是励磁电感,  $I_{L1}$ 、 $I_{L2}$  分别是第一电感  $L_1$ 、第二电感  $L_2$  的电流,  $I_{Lr}$  是谐振电流,  $T$  是理想变压器,  $N_1$ 、 $N_2$ 、 $N_3$  分别是理想变压器  $T$  的第一、第二、第三绕组,  $D_{o1}$ 、 $D_{o2}$  分别是第一输出整流二极管和第二输出整流二极管,  $I_{D_{o1}}$ 、 $I_{D_{o2}}$  分别流过  $D_{o1}$ 、 $D_{o2}$  的电流,  $C_o$  是输出滤波电容,  $R_o$  是输出电阻,  $V_o$  为输出电压,  $t_0 \sim t_6$  为时间。

## 具体实施方式

- [0034] 下面结合附图与具体实施方式对本发明作进一步详细描述:
- [0035] 一种 Boost 型隔离 DC/DC 变换器, 其电气原理图如图 1 所示, 其由输入直流电压源  $V_{in}$ 、母线电容  $C_{bus}$ 、第一电感  $L_1$ 、第二电感  $L_2$ 、第一开关管  $S_1$ 、第二开关管  $S_2$ 、第三开关管  $S_3$ 、第四开关管  $S_4$ 、二端口无源网络  $N$ 、第一输出整流二极管  $D_{o1}$ 、第二输出整流二极管  $D_{o2}$ 、输出电容  $C_o$ 、输出电阻  $R_o$  和理想变压器  $T$  组成;
- [0036] 所述理想变压器  $T$  包括第一绕组  $N_1$ 、第二绕组  $N_2$  和第三绕组  $N_3$ ;
- [0037] 所述二端口无源网络  $N$  有四个端子, 分别为端子  $a$ 、端子  $b$ 、端子  $c$  和端子  $d$ , 端子  $a$  与端子  $b$  在同一侧, 端子  $c$  和端子  $d$  在另一侧;
- [0038] 所述的输入直流电压源  $V_{in}$  的正极分别与第一电感  $L_1$  的一端和第二电感  $L_2$  的一端相连, 输入直流电压源  $V_{in}$  的负极分别与第二开关管  $S_2$  的源极、第四开关管  $S_4$  的源极以及母线电容  $C_{bus}$  的负极相连; 第一电感  $L_1$  的另一端分别与第一开关管  $S_1$  的源极和第二开关管  $S_2$  的漏极相连, 第二电感  $L_2$  的另一端分别与第三开关管  $S_3$  的源极和第四开关管  $S_4$  的漏极相连; 第一开关管  $S_1$  的漏极分别与第三开关管  $S_3$  的漏极、母线电容  $C_{bus}$  的正极相连;
- [0039] 所述二端口无源网络  $N$  的端子  $a$  与第一开关管  $S_1$  的源极、第二开关管  $S_2$  的漏极相

连,端子 b 与第三开关管  $S_3$  的源极、第四开关管  $S_4$  的漏极相连,端子 c 与所述理想变压器 T 第一绕组  $N_1$  的同名端相连,端子 d 与所述理想变压器 T 第一绕组  $N_1$  的非同名端相连;

[0040] 第一输出整流二极管  $D_{o1}$  与第二输出整流二极管  $D_{o2}$  共阴极连接,第一输出整流二极管  $D_{o1}$  的阳极连接到所述理想变压器 T 第二绕组  $N_2$  的同名端,第二输出整流二极管  $D_{o2}$  的阳极连接到所述理想变压器 T 第三绕组  $N_3$  的非同名端;输出电容  $C_o$  与输出电阻  $R_o$  并联,它们的正极连接到第一输出整流二极管  $D_{o1}$  的阴极,它们的负极分别与所述理想变压器 T 第二绕组  $N_2$  的非同名端和第三绕组  $N_3$  的同名端相连。

[0041] 本发明所述的 Boost 型隔离 DC/DC 变换器的控制方法:如图 2 所示,采用定频 PWM 的控制,变换器的工作频率  $f_s$  始终等于谐振频率  $f_r$ ;两个 Boost 电路采用交错并联的控制方式,第一开关管  $S_1$  与第三开关管  $S_3$  占空比均为 D,其相位差  $180^\circ$ ;第二开关管  $S_2$  与第四开关管  $S_4$  的占空比均为  $1-D$ ,相位也差  $180^\circ$ ;当占空比  $D \leq 0.5$  时,谐振槽电压  $V_{tank}$  的占空比为 D,如图 2(a) 所示;当  $D > 0.5$  时,谐振槽电压  $V_{tank}$  的占空比为  $1-D$ ,如图 2(b) 所示;输入电压  $V_{in}$  在比较宽的范围内变化时,通过调节第一开关管  $S_1$ 、第三开关管  $S_3$  的占空比 D,改变变换器整体增益。

[0042] 本发明 Boost 型隔离 DC/DC 变换器的实施例 1 如图 3 所示,其包含的二端口无源网络 N 是移相电感 L 网络;所述的移相电感 L 网络包含移相电感 L,移相电感 L 的一端与端子 a 相连,另一端与端子 c 相连,端子 b 与端子 d 直接相连。

[0043] 本发明 Boost 型隔离 DC/DC 变换器的实施例 2 如图 4 所示,其包含的二端口无源网络 N 是 LC 串联谐振网络;所述的 LC 串联谐振网络包括谐振电感  $L_r$  和串联谐振电容  $C_r$ ,谐振电感  $L_r$  的一端连接端子 a,另一端连接端子 c,串联谐振电容  $C_r$  的一端连接端子 b,另一端连接端子 d。

[0044] 本发明 Boost 型隔离 DC/DC 变换器的实施例 3 如图 5 所示,其包含的二端口无源网络 N 是 LC 并联谐振网络;所述的 LC 并联谐振网络包括谐振电感  $L_r$  和并联谐振电容  $C_p$ ,谐振电感  $L_r$  的一端连接端子 a,另一端连接端子 c,并联谐振电容  $C_p$  的一端连接端子 c,端子 b 与端子 d 直接相连。

[0045] 本发明 Boost 型隔离 DC/DC 变换器的实施例 4 如图 6 所示,其包含的二端口无源网络 N 是 LCC 谐振网络;所述的 LCC 谐振网络包括谐振电感  $L_r$ 、串联谐振电容  $C_r$  和并联谐振电容  $C_p$ ,谐振电感  $L_r$  一端连接端子 a,另一端连接端子 c;串联谐振电容  $C_r$  一端连接端子 b,另一端连接端子 d;并联谐振电容  $C_p$  一端连接端子 c,另一端连接端子 d。

[0046] 本发明 Boost 型隔离 DC/DC 变换器的实施例 5 如图 7 所示,其包含的二端口无源网络 N 是 LLC 串联谐振网络;所述的 LLC 串联谐振网络包括谐振电感  $L_r$ 、串联谐振电容  $C_r$  和励磁电感  $L_m$ ,谐振电感  $L_r$  一端连接端子 a,另一端连接端子 c;串联谐振电容  $C_r$  一端连接端子 b,另一端连接端子 d;励磁电感  $L_m$  一端连接端子 c,另一端连接端子 d。

[0047] 下面对本发明 Boost 型隔离 DC/DC 变换器的实施例 2 工作原理做进一步的说明。在分析之前,先作如下假设:①所有功率开关管均为理想器件,不考虑开关时间、导通压降等参数;②所有电感和电容均为理想器件,不考虑其寄生参数。

[0048] 图 8 为本发明 Boost 型隔离 DC/DC 变换器的实施例 2 在占空比  $D < 0.5$  时的主要工作波形。在一个开关周期  $T_s$  内,变换器共有六种工作模态。

[0049] 1、开关模态 I ( $t_0 \sim t_1$ ):

[0050] 如图 9(a) 所示, 在  $t_0$  时刻之前, 第四开关管  $S_4$  已导通,  $t_0$  时刻, 第一开关管  $S_1$  导通。 $t_0 \sim t_1$  这一时段内, 谐振槽电压  $V_{\text{tank}}$  等于母线电压  $V_{\text{bus}}$ , 变压器  $N_1$  绕组电压受输出电压箝位, 谐振电感  $L_r$  和谐振电容  $C_r$  进行谐振, 谐振电流  $i_{Lr}$  上升, 原边向副边传递能量, 第一输出整流二极管  $D_{o1}$  导通。与此同时, 第一电感  $L_1$  放电、第二电感  $L_2$  充电, 电流  $i_{L1}$  线性下降、 $i_{L2}$  线性上升。

[0051] 2、开关模态 II ( $t_1 \sim t_2$ ) :

[0052] 如图 9(b) 所示,  $t_1$  时刻第二开关管  $S_2$ ZVS 开通。第一输出整流二极管  $D_{o1}$  继续导通, 但是由于谐振槽电压  $V_{\text{tank}}=0$ , 输入电压源不提供能量, 原边向副边传输的能量完全由  $L_r$ 、 $C_r$  谐振网络提供, 所以  $i_{Lr}$  迅速下降。由于第二开关管  $S_2$ 、第四开关管  $S_4$  导通, 第一电感  $L_1$  和第二电感  $L_2$  均充电, 电流  $i_{L1}$ 、 $i_{L2}$  线性上升。3、开关模态 III ( $t_2 \sim t_3$ ) :

[0053] 如图 9(c) 所示,  $t_2$  时刻,  $i_{Lr}$  下降到零, 第一输出整流二极管  $D_{o1}$  实现 ZCS 关断。此阶段内,  $L_r$ 、 $C_r$  不谐振。第一电感  $L_1$  和第二电感  $L_2$  均充电, 电流  $i_{L1}$ 、 $i_{L2}$  线性上升。第一输出整流二极管  $D_{o1}$  和第二输出整流二极管  $D_{o2}$  均处于反向截止状态, 原边不再向副边输出能量, 由输出电容  $C_o$  向负载供电。

[0054] 4、开关模态 IV ( $t_3 \sim t_4$ ) :

[0055] 如图 9(d) 所示,  $t_3$  时刻, 第三开关管  $S_3$  导通。 $t_3 \sim t_4$  这一时段内, 谐振槽电压  $V_{\text{tank}}$  等于负母线电压  $-V_{\text{bus}}$ , 理想变压器 T 的第一绕组  $N_1$  电压受输出电压箝位, 谐振电感  $L_r$  和谐振电容  $C_r$  开始谐振, 谐振电流从  $i_{Lr}$  从 0 开始下降, 原边向副边传递能量, 第二输出整流二极管  $D_{o2}$  导通。与此同时, 第一电感  $L_1$  继续充电、电流  $i_{L1}$  线性上升, 第二电感  $L_2$  开始放电、电流  $i_{L2}$  线性下降。

[0056] 5、开关模态 V ( $t_4 \sim t_5$ ) :

[0057] 如图 9(e) 所示,  $t_4$  时刻, 第四开关管  $S_4$ ZVS 开通。第二输出整流二极管  $D_{o2}$  继续导通, 但是由于谐振槽电压  $V_{\text{tank}}=0$ , 输入直流电压源  $V_{\text{in}}$  不提供能量, 原边向副边传输的能量完全由  $L_r$ 、 $C_r$  谐振网络提供, 所以  $i_{Lr}$  迅速上升。由于第二开关管  $S_2$ 、第四开关管  $S_4$  导通, 第一电感  $L_1$  和第二电感  $L_2$  均充电, 电流  $i_{L1}$ 、 $i_{L2}$  线性上升。

[0058] 6、开关模态 VI ( $t_5 \sim t_6$ ) :

[0059] 如图 9(f) 所示,  $t_5$  时刻,  $i_{Lr}$  上升到零, 第二输出整流二极管  $D_{o2}$  实现 ZCS 关断。此阶段内, 谐振电感  $L_r$  和谐振电容  $C_r$  不进行谐振。第一电感  $L_1$  和第二电感  $L_2$  均充电, 电流  $i_{L1}$  和  $i_{L2}$  均线性上升。第一输出整流二极管  $D_{o1}$  和第二输出整流二极管  $D_{o2}$  均反向截止, 原边不再向副边输出能量, 由输出电容  $C_o$  向负载供电。

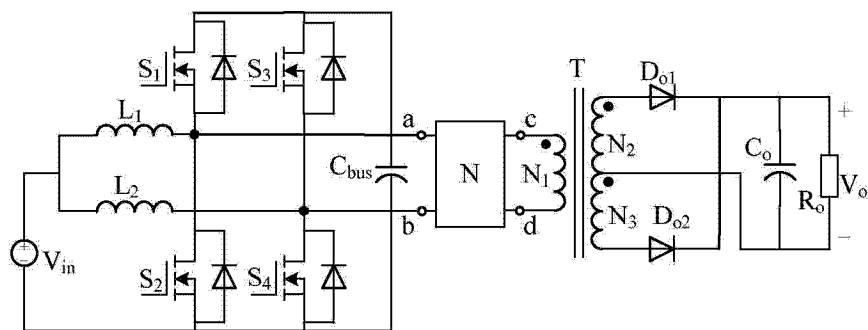
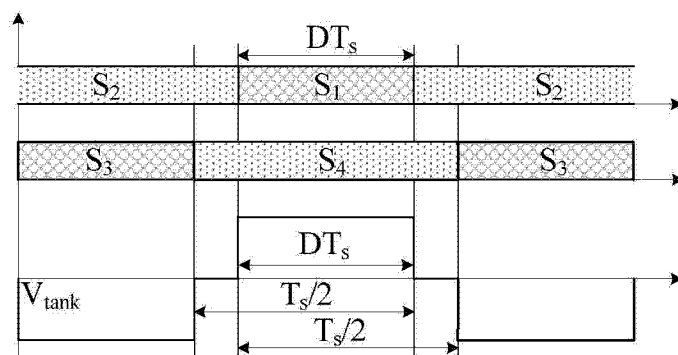
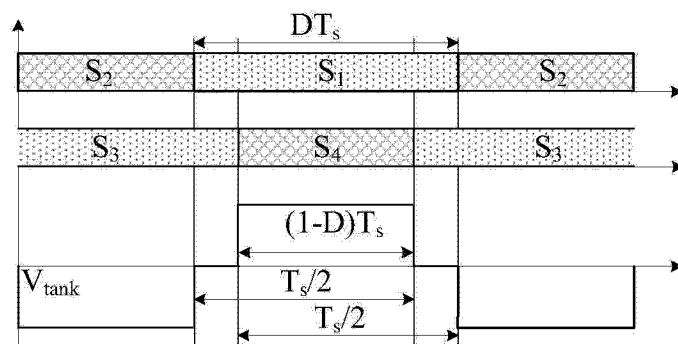


图 1



(a)



(b)

图 2

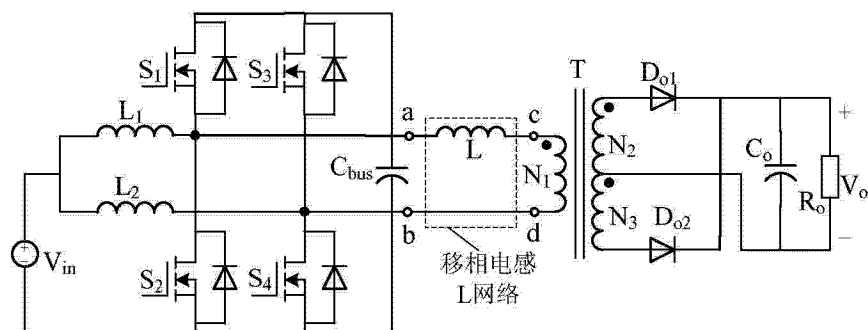


图 3

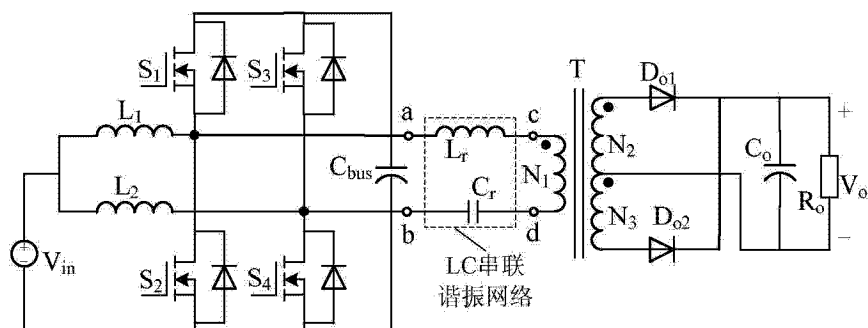


图 4

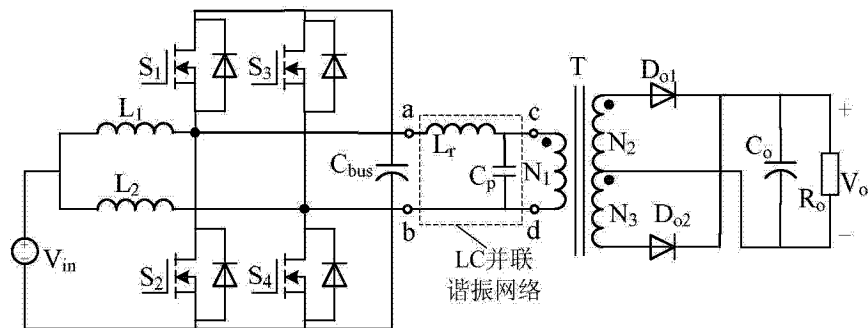


图 5

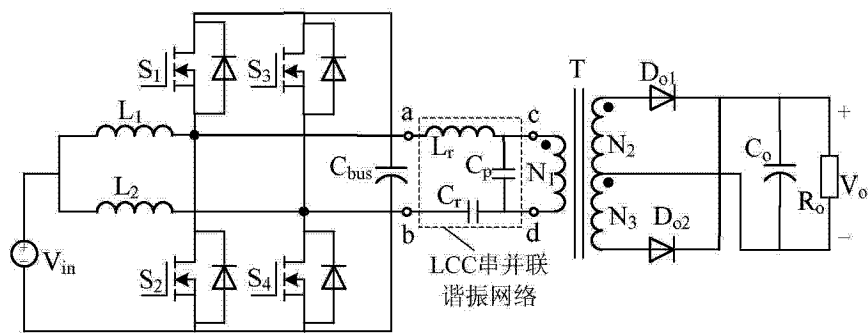


图 6

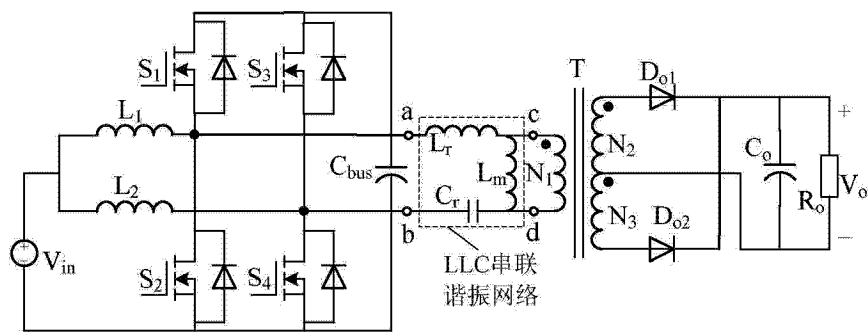


图 7

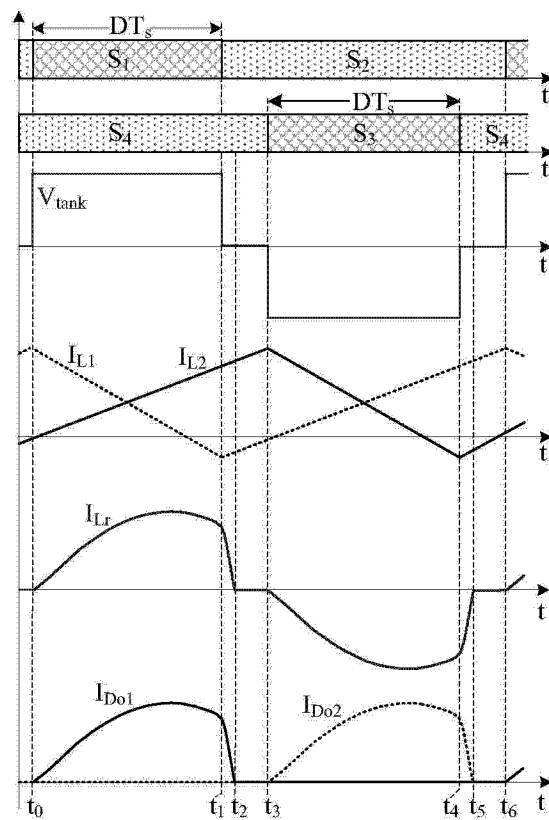
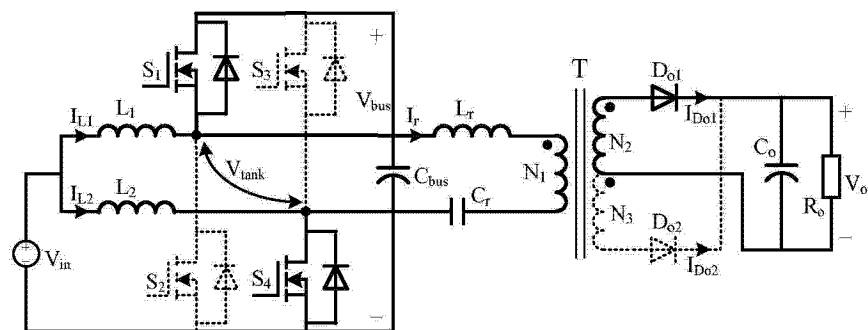
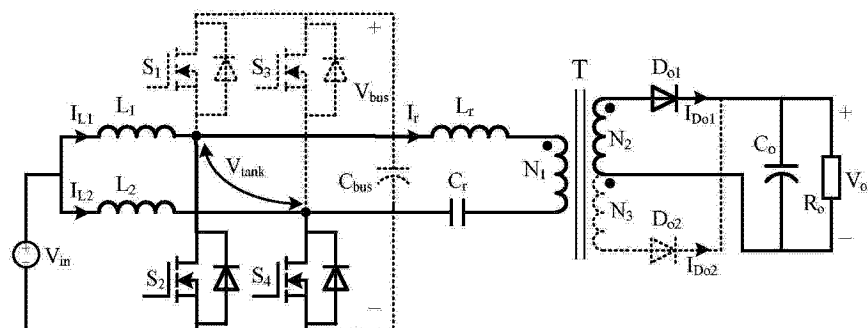


图 8



(a)



(b)

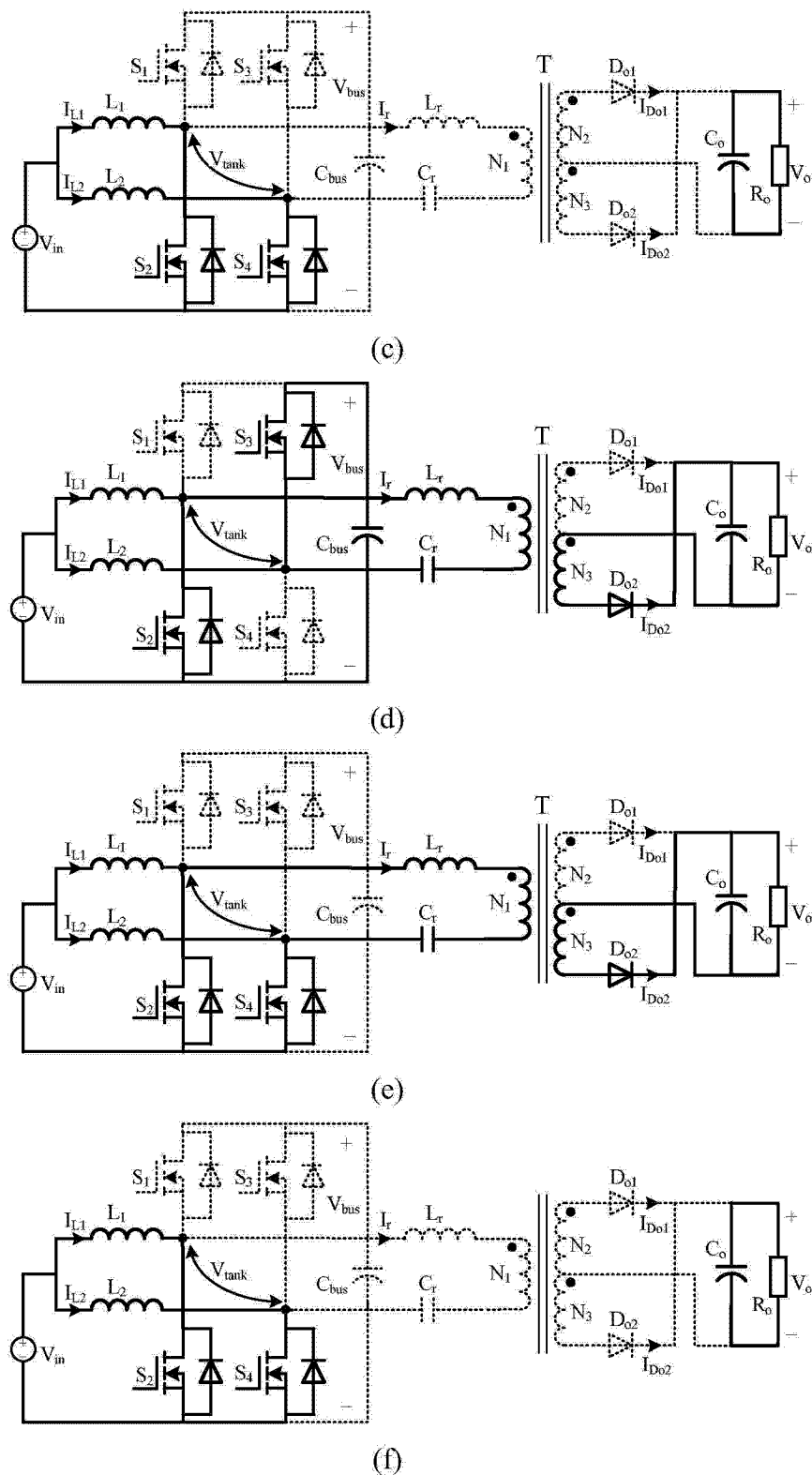


图 9